

بررسی نقش آرایش تخلخل بادشکن غیرزنده در تغییر رفتار جریان باد

علی محمد قائمی نیا^{۱*}، محمدعلی حکیمزاده^۲

تاریخ پذیرش: ۱۳۹۶/۶/۳۰

تاریخ دریافت: ۱۳۹۶/۳/۲۹

چکیده

فرسایش بادی یکی از جنبه‌های بیابان‌زایی و تخریب اراضی در مناطق خشک است. وقوع وزش بادهای با سرعت زیاد علاوه بر کاهش حاصلخیزی خاک، سبب ایجاد خسارت به تأسیسات مستقر در این مناطق می‌شود. احداث بادشکن‌های غیرزنده با شاخه‌های درختان و درختچه‌ها و الوار و همچنین صالح ساختمانی یکی از شیوه‌های رایج در کاهش خسارت‌ها است. با توجه به وقوع خشکسالی در سال‌های اخیر و لزوم افزایش استفاده بهینه از آب موجود در بخش کشاورزی، استفاده از بادشکن‌های غیرزنده مناسب‌تر به نظر می‌رسد. به منظور بررسی تأثیر انواع الگوهای متداول آجرچینی مشبك در میزان حفاظت بادشکن‌ها از نقاط در پشت خود، یک بررسی آزمایشگاهی در تونل باد انجام شد. بدین منظور پنج الگوی آجرچینی مشبك با تراکم‌های مختلف به همراه شاهد با تراکم ۱۰۰ درصد در قالب بلوك کامل تصادفی با چهار تکرار، مورد بررسی قرار گرفت. نتایج نشان داد با افزایش تخلخل در بادشکن، ضمن کاهش سرعت باد و حفظ منطقه موردهفاظت، خطوط جریان به شکل موازی درآمده و جریان‌های پیچشی در آن‌ها مشاهده نمی‌شود. در صورتی که با کاهش تخلخل، در خطوط جریان باد جریان پیچشی به وجود آمده و موجب کاهش حفاظت از منطقه موردنظر می‌شود. نتایج همچنین نشان داد که احداث بادشکن با ارتفاعی کمتر از ارتفاع سازه موردهفاظت (مانند گلخانه)، به خصوص در بادشکن‌های با تراکم زیاد، نه تنها سازه در برابر وزش باد حفظ نمی‌شود، بلکه با شکل‌گیری جریانی با سرعت بیشتر در روی بادشکن و جریان‌های پیچشی در پشت آن، خسارت‌ها افزایش می‌یابد. از این‌رو توجه به ایجاد تراکم بهینه با کاربرد الگوهای آجرچینی مشبك مناسب، در احداث بادشکن‌های غیرزنده آجری حائز اهمیت است.

واژه‌های کلیدی: فرسایش بادی، تراکم بادشکن، آجر، تونل باد، بیابان‌زدایی.

۱. دانشجوی دکترای بیابان‌زدایی، دانشکده منابع طبیعی و کویرشناسی، دانشگاه یزد / Email: a.ghaeminia@yahoo.com

۲. استادیار دانشکده منابع طبیعی و کویرشناسی دانشگاه یزد

مقدمه

مطلوب‌اند که جریان‌ها پس از برخورد به این نوارها به کندی عبور کرده و جریان آرامی را در پشت خود ایجاد می‌کنند و با کاهش سرعت باد باعث ایجاد منطقه امن تا مسافتی می‌شوند که در این منطقه جریان‌های آشفته هوا وجود ندارد (کلاف^۳، ۱۹۹۸). بادشکن‌های غیرزنده معمولاً ردیف‌هایی از شاخه‌های خشکیده درختان و دیوارهای ساخته شده ازصالح ساختمانی مانند سنگ، الارچ چوبی، گل و آجر هستند. مشخصه‌هایی نظیر تخلخل، طول، ضخامت، ارتفاع و تراکم، ساختار بادشکن را تشکیل داده و نقش مهمی را در کاهش سرعت باد و بهبود میکروکلیمایی دارند (فوئرید^۴ و همکاران، ۲۰۰۲).

امروزه بادشکن‌های غیرزنده متنوعی به خصوص در کشورهای پیشرفته مورد استفاده قرار می‌گیرند. این قبیل بادشکن‌ها به انواع قابل حمل و ثابت نیز تقسیم می‌شوند (خوشحال و همکاران، ۲۰۱۳). بادشکن‌های قابل حمل در انواع فلزی قائم یا شیبدارند که می‌توانند اسکلت‌های مجرما یا غیر مجرما داشته باشند. بادشکن‌های ثابت نیز حصارها و فنس‌های دائمی هستند که در یک منطقه ایجاد می‌شوند (کلین^۵، ۲۰۰۲).

بادشکن‌های زنده در مقایسه با بادشکن‌های غیرزنده دارای اثراتی مانند تأخیر در رشد محصول به دلیل سایه‌اندازی بیشتر و افزایش رطوبت هوا، رقابت با محصول اصلی در آب، مواد غذایی و نور و به دنبال آن کاهش تولید، ایجاد تعارضات ملکی و محدودیت عملیات کشت و کار به دلیل اشغال اراضی بیشتر و در مواردی باعث تغییرات خصوصیات خاک می‌شوند؛ با این حال، انتخاب نوع بادشکن درختی و غیرزنده و توجه به منابع مالی و هزینه‌های لازم از نکاتی است که باید در طراحی بادشکن منظور شود (رفاهی، ۱۹۹۹).

ارازی و همکاران (۲۰۱۳) با بررسی اثرات بادشکن درختی با استفاده از درخت گز در اطراف مزرعه‌ای واقع در شهرستان اردکان به این نتیجه دست یافتند که میزان املاح خاک در منطقه بادپناه بادشکن، بیشتر از منطقه بدون بادشکن است. درختان گز شاهی با دفع عناصر نمک از طریق برگ و همچنین با ریختن شاخ و برگ‌های دربردارنده نمک و تجزیه آن در ابتدای کرت‌ها

فرسایش بادی، ذرات خاک و ماسه و دیگر ذرات را توسط باد طی سه مرحله برداشت و حمل و رسوب، در محیط طبیعی جابه‌جا می‌کند. فرسایش بادی یکی از علتهای اصلی تخریب خاک، بیابان‌زایی و طوفان‌های ماسه‌ای است (گیست، ۲۰۰۵). این پدیده باعث مشکلات زیست‌محیطی مانند کاهش اراضی کشاورزی و آسودگی هوا می‌شود (شائو، ۲۰۰۱). از این‌رو، استفاده از راهکارهای کاهش اثرات این پدیده در مناطق خشک حائز اهمیت است.

براساس بررسی‌های انجام شده فرسایش بادی با گستره‌های بیش از ۲۰ میلیون هکتار در اراضی کشور رخ می‌دهد (مؤسسه تحقیقات جنگل‌ها، مراع و آبخیزداری، ۲۰۰۴)، بنابراین انجام پژوهش‌های کاربردی از جنبه‌های مختلف این پدیده، حائز اهمیت است. آثار و تبعات فرسایش بادی و وزش بادهای تند متعدد بوده و شامل کاهش مواد آلی و تغییر فیزیکی و شیمیایی خاک، کاهش ظرفیت نگهداری آب و باروری خاک، آسودگی آب‌های آشامیدنی، آسودگی هوا، ایجاد مشکلات بهداشتی، هجوم ماسه‌های روان و کاهش دید در بزرگراه‌ها و فرودگاه‌های (مصطفوی و همکاران، ۲۰۰۵؛ امراللهی و مفیدی‌فر، ۲۰۰۵). یکی از مهم‌ترین مسائل در زمینه مدیریت و برنامه‌ریزی کنترل فرسایش بادی و به تبع آن کاهش تخریب خاک در مناطق بیابانی، کاهش میزان سرعت باد به حد بدون آسیب است.

مقدار مواد جابه‌جا شده توسط باد به انرژی آن که ارتباط مستقیمی با سرعت باد دارد، بستگی دارد. بنابراین استفاده از شیوه‌هایی که به وسیله آن‌ها بتوان سرعت باد را کاهش داد از ضروریات کنترل خسارت‌های این پدیده است. یکی از روش‌های مرسوم در محافظت از محل‌های مورد نظر مانند مزارع، گلخانه‌ها و تأسیسات، احداث بادشکن (زنده یا غیرزنده) در اطراف آن‌هاست که با کاهش قدرت فرسایندگی باد، منجر به کاهش خسارات می‌شود.

بادشکن‌های زنده، نوارهایی از درختان با نفوذپذیری

3. Claugh
4. Foereid
5. Klein

1. Geist
2. Shao

با توجه به وقوع خشکسالی در سالهای اخیر و لزوم افزایش استفاده بهینه از آب موجود در بخش کشاورزی، استفاده از بادشکن‌های غیرزنده مناسب‌تر به نظر می‌رسد. در مناطق خشک و بیابانی به دلیل وقوع بادهای شدید، امکان استقرار اولیه نهال‌ها با دشواری همراه است و منجر به شکست پروژه خواهد شد. همچنین خاک‌های حاصلخیز اندک در این مناطق، لزوم استفاده حداکثری از آن‌ها را می‌طلبد. با توجه به گسترش تولیدات گلخانه‌ای در برخی مناطق مستعد در مناطق خشک و افزایش قیمت زمین، حفاظت از سرمایه‌گذاری صورت گرفته در این عرصه‌های کوچک و محدود نیز در اولویت است. بنابراین، احداث بادشکن‌های غیرزنده از مصالح موجود در منطقه، یکی از گزینه‌های پیش روست. با توجه به کمی تولیدات زیستی ارزان قیمت مانند سرشاخه درختان، الوار و... برای احداث بادشکن در مناطق بیابانی، یکی از مصالحی که در گذشته برای احداث بادشکن در این مناطق مورد استفاده قرار می‌گرفته، دیوارهای گلی است که در برابر بادهای غالب منطقه احداث می‌شند (شکل ۱-الف). در حال حاضر به دلیل توسعه فنی و افزایش سرمایه‌گذاری در مناطق بیابانی، آجر به عنوان یکی از مصالح متداول و آسان در ساخت بادشکن‌ها مورد استفاده قرار می‌گیرد (شکل ۱-ب).

با توجه به رواج ساخت بادشکن‌های غیرزنده با آجر در اطراف مناطق مورد حفاظت، طراحی بهینه آن‌ها به منظور به حداقل رساندن اثرات مخرب بادهای خسارت‌زا، حائز اهمیت است. عدم طراحی مناسب بادشکن‌ها در مواردی نه تنها باعث کاهش خسارت نمی‌شود، بلکه در مواردی به علت تغییر الگوی رفتار جریان باد و ایجاد جریان‌های پیچکی در اطراف و پشت بادشکن، افزایش خسارت محتمل است. همچنین در برخی موارد (شکل ۲) مشاهده می‌شود که پس از ساخت بادشکن غیرزنده، به علت عدم شناخت رفتار باد در اطراف آن، پروژه با شکست مواجه شده و خسارت‌های مالی زیادی را به دنبال دارد. بنابراین به منظور بررسی تأثیر انواع الگوهای متداول آجرچینی مشبک در میزان حفاظت بادشکن‌ها از نقاط در پشت خود، یک بررسی آزمایشگاهی در تونل باد انجام شد.

باعث افزایش شوری شده و از آنجاکه کرت‌ها مورد آبیاری قرار می‌گیرند، کل کرت تحت تأثیر قرار گرفته و با گذشت زمان شوری خاک، تحت تأثیر این درختان افزایش خواهد یافت. همچنین لادنبرگ^۱ و همکاران (۲۰۰۵) اظهار کردند که به دلیل مصرف زیاد آب توسط این درخت و افزایش عمق سطح آب زیرزمینی، به مرور زمان خشکیدگی رویشگاه به وجود خواهد آمد.

امیری (۱۹۹۹) به منظور مقایسه اثرات بادشکن‌های مختلف (گز شاهی نیمه‌متراکم و نخل خرما غیرمتراکم) روی تغییرات سرعت باد، به اندازه‌گیری سرعت باد در ارتفاع یک متری اطراف بادشکن‌ها پرداخت. نتایج نشان داد بیشترین کاهش سرعت باد در اطراف نخل خرما مربوط به فاصله چهار برابر ارتفاع بادشکن است و در فاصله هفت برابر ارتفاع بادشکن سرعت باد به سرعت اولیه خود می‌رسد. در صورتی که در بادشکن گز شاهی سرعت باد در فاصله ۱۳ برابر ارتفاع درخت به سرعت اولیه خود رسید.

خوشحال و همکاران (۲۰۱۳) به بررسی نقش بادشکن غیرزنده نفوذپذیر بر روی برخی خصوصیات زراعی گندم رقم روشن در محمدآباد اصفهان پرداختند. نتایج نشان داد میزان عملکرد پارامترهایی مانند وزن هزار دانه، تعداد دانه در هر سنبله و درصد خوابیدگی گندم تابعی از فاصله از بادشکن است، به طوری که بیشترین تأثیر بادشکن بر روی این پارامترها در فاصله‌ای به میزان ۵ برابر ارتفاع بادشکن است و در فاصله‌ای به میزان ۱۵ برابر ارتفاع بادشکن تأثیر آن بر روی این پارامترها به حداقل رسیده و معنی دار نیست.

تراکم و نفوذپذیری بادشکن نقش مهمی در مسافتی دارد که در آن بادشکن سرعت و جریان باد را تغییر می‌دهد (ازایی، ۲۰۱۱). در یک بادشکن قابل نفوذ (زنده یا غیرزنده)، قسمتی از باد از داخل بادشکن رد و قسمت دیگر آن به طرف بالای بادشکن منحرف شده و از آن عبور می‌کند که به دلیل تقسیم جریان باد، منطقه‌ای با باد کم سرعت به وجود آمده و طول آن به ساختمان و ارتفاع بادشکن بستگی دارد (کورنلیس^۲ و همکاران، ۱۹۹۷).



شکل (۱): بادشکن‌های غیرزنده با مصالح الف. گلی در اطراف مزرعه (امیری و همکاران، ۲۰۱۲)؛ ب. آجری در اطراف گلخانه

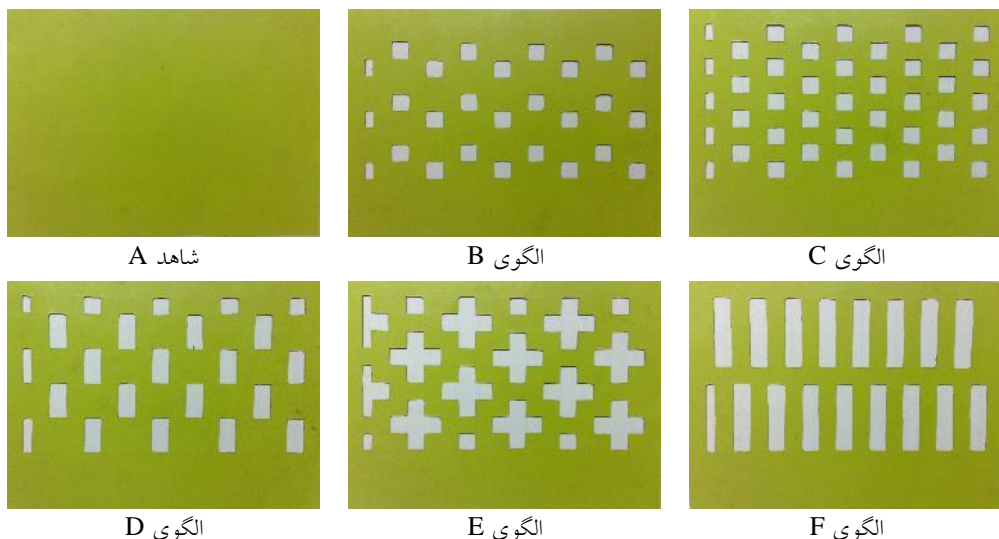


شکل (۲): بادشکن غیرزنده با الگوهای آجرچینی مشبک متداول و اصلاح دستی آن

مواد و روش‌ها

یکسان، رفتار آن‌ها در داخل تونل باد در آزمایشگاه موردبررسی قرار گرفت. جدول (۱) مشخصات هریک از الگوهای موردبررسی را نشان می‌دهد.

در این بررسی، رفتار پنج الگوی آجرچینی در ساخت بادشکن‌های غیرزنده با استفاده از مصالح آجر و سیمان مورد ارزیابی قرار گرفت (شکل (۳)). برای این منظور، با ساخت نمونه‌های کوچک مقیاس از این بادشکن‌ها با مساحت رو به باد



شکل (۳): الگوهای آجرچینی موردبررسی در تحقیق

جدول (۱): مشخصات الگوهای موردبررسی در یک مساحت با واحد یکسان

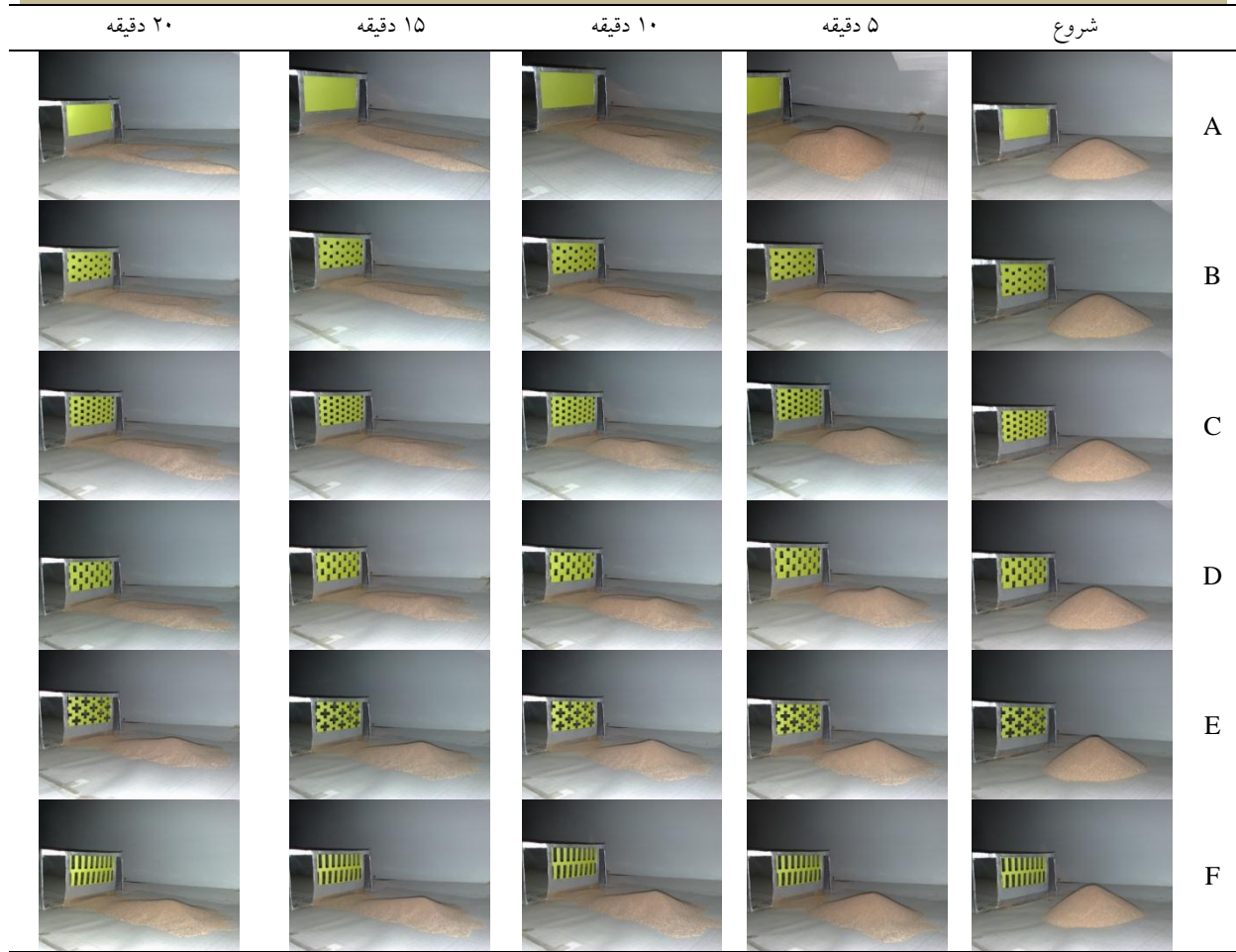
F الگوی	E الگوی	D الگوی	C الگوی	B الگوی	A شاهد	
۱۴۸/۵	۱۴۸/۵	۱۴۸/۵	۱۴۸/۵	۱۴۸/۵	۱۴۸/۵	مساحت آجرچینی مشبک
۸۲/۵	۸۸	۱۱۰	۱۱۲	۱۲۳	۱۴۸/۵	مساحت آجردار
۴	۵	۲	۱	۱	۰	مساحت یک حفره
۶۶	۶۰/۵	۳۸/۵	۳۶/۶	۲۵/۵	۰	مجموع مساحت حفره
%۵۵	%۵۹	%۷۴	%۷۵	%۸۳	%۱۰۰	تراکم
%۴۵	%۴۱	%۲۶	%۲۵	%۱۷	%۰	تخلخل

و انتقال کامل این توده ماسه در حالت بدون بادشکن، به ۲۰ دقیقه زمان لازم است؛ از این‌رو، برای بررسی هریک از الگوهای پس از مدت ۲۰ دقیقه از شروع آزمایش تونل باد خاموش و مقدار ماسه روان به‌جامانده اندازه‌گیری شد. همچنین به‌منظور ارزیابی آماری کارایی، آزمایش در قالب بلوک‌های تصادفی در ۴ تکرار در نرم‌افزار SPSS انجام شد و علاوه‌بر وزن ماسه، بیشینه طول ماسه باقی‌مانده و محل قرارگیری قله ماسه به‌جای‌مانده نیز اندازه‌گیری شد. جدول (۲) تغییرات شکل توده ماسه دو کیلوگرمی در پشت هریک از بادشکن‌ها را با توقف ۵ دقیقه‌ای آزمایش نشان می‌دهد.

آزمایش تونل باد

ارزیابی الگوهای مختلف تخلخل در کارایی بادشکن غیرزنده در تونل باد انجام شد. به این منظور با ساخت ابعاد آزمایشگاهی از الگوهای مختلف، رفتار باد مورد بررسی قرار گرفت. این آزمایش در یک تونل باد از نوع مدار باز با سرعت باد ثابت ۱۰ متر بر ثانیه با ابعاد $600 \times 75 \times 75$ سانتی‌متر انجام شد. برای ارزیابی میزان حفاظت هریک از الگوهای تخلخل بادشکن، از توده دو کیلوگرمی از ماسه روان (بادی) در پشت بادشکن استفاده شد. قبل از شروع آزمایش برای الگوهای تخلخل، معلوم شد که برای برداشت

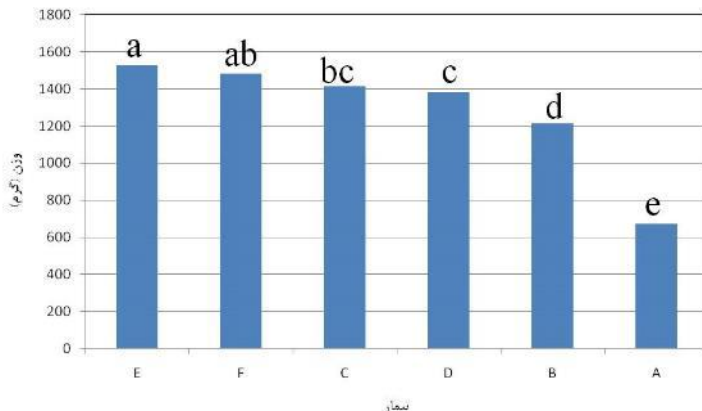
جدول (۲): تغییرات شکل توده ماسه در پشت بادشکن غیرزنده با الگوهای مختلف آجرچینی در بازه زمانی ۵ دقیقه



نتایج

معنی‌داری در سطح ۵ درصد با سایر الگوها دارد. همچنین الگوی E با تمامی الگوها به‌جز الگوی F، به صورت معنی‌داری بیشترین وزن ماسه (۷۵٪ وزن ماسه اولیه) را در پشت خود حفظ کرده است.

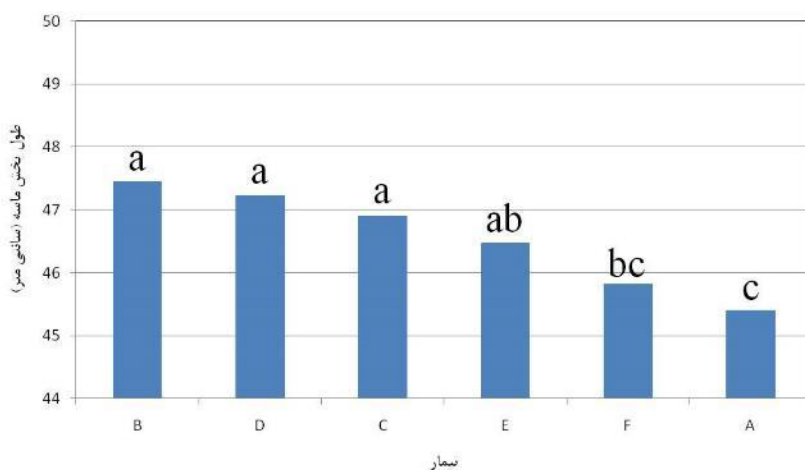
شکل (۴) تغییرات مقدار توده ماسه حفاظت‌شده در پشت هریک از الگوهای تخلخل بادشکن غیرزنده را نشان می‌دهد. همان‌گونه که مشخص است، بادشکن با تراکم (A) دارای کمترین مقدار حفظ ماسه بوده و دارای تفاوت



شکل (۴): تغییرات وزن توده ماسه دو کیلوگرمی در پشت الگوهای مختلف آجرچینی بادشکن پس از ۲۰ دقیقه

بادشکن باعث می‌شود که سرعت باد کافی برداشت این ذرات در این نقطه از بادشکن کمتر به وجود آمده و این ذرات در جای خود باقی مانند. اگرچه ممکن است با افزایش زمان آزمایش به بیش از ۲۰ دقیقه، مقدار بیشتری از این ذرات از پشت بادشکن از دست برود.

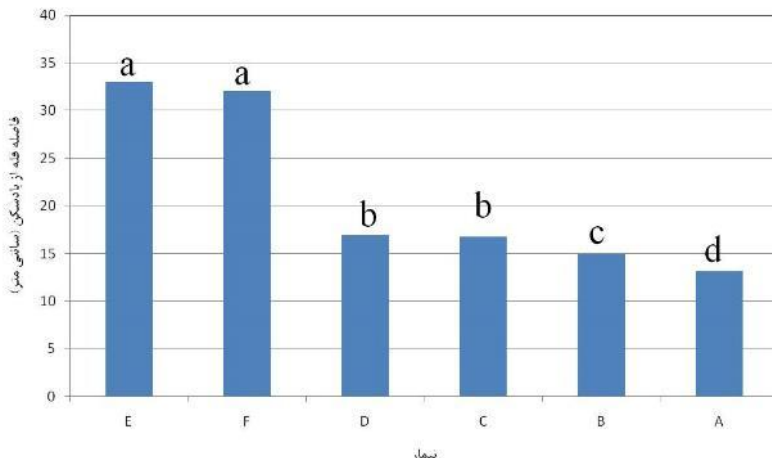
نتایج حاصل از اندازه‌گیری طول پخشیدگی توده ماسه اولیه (دو کیلوگرمی) در داخل تونل باد نشان می‌دهد که الگوهای B، C و D دارای کشیده‌ترین طول پخشیدگی هستند (شکل ۵) که به‌سبب اثرات ناشی از تشکیل جریان پیچشی در میان توده ماسه به وجود آمده‌اند. تقابل جریان‌های هم‌سوی باد و مخالف جهت باد در فاصله‌ای دورتر نسبت به



شکل (۵): بیشینه طول پخشیدگی توده ماسه دو کیلوگرمی در پشت الگوهای مختلف آجرچینی بادشکن پس از ۲۰ دقیقه

فاصله‌ای کمتر نسبت به الگوهای E و F دارد (شکل ۶). کاهش سرعت باد در پشت بادشکن‌های الگوی E و F و خطوط جریان موازی در آن‌ها سبب می‌شود که توده ماسه به‌آرامی به عقب رفته و در آنجا تجمع یابند.

نتایج حاصل از بررسی محل قرارگیری قله توده ماسه باقی‌مانده در پشت هریک از الگوهای تخلخل بادشکن نشان می‌دهد که به‌دلیل شکل‌گیری جریان پیچشی در پشت بادشکن‌های الگوی A، B، C و D و جریان خلاف جهت در سطح ماسه، محل قرارگیری ماسه به‌طور معنی‌داری در



شکل (۶): فاصله قرارگیری قله توده ماسه دو کیلوگرمی در پشت الگوهای مختلف آجرچینی بادشکن پس از ۲۰ دقیقه

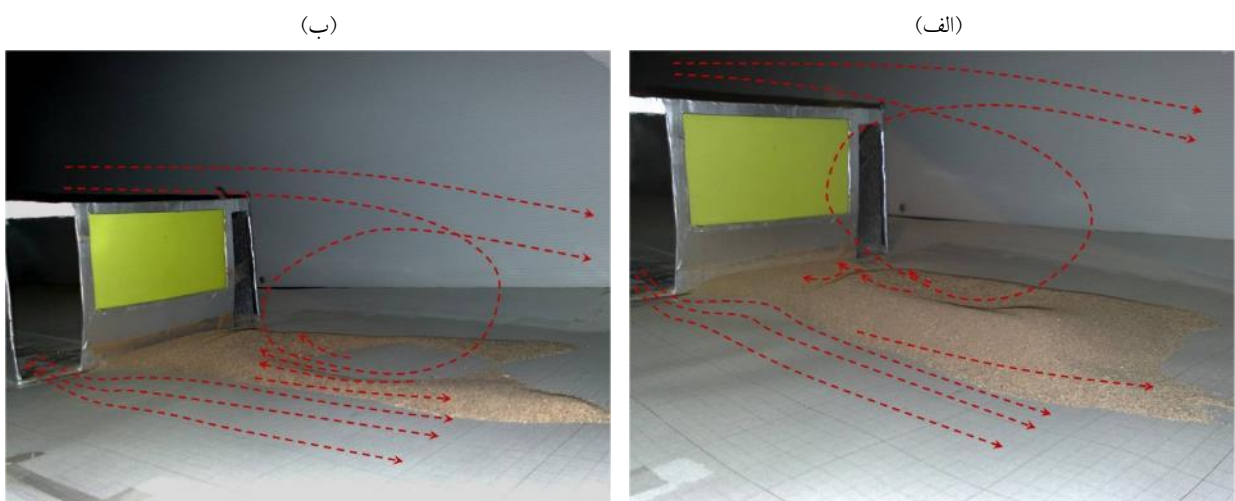
سطح ۵ درصد با سایر الگوها در حفظ توده ماسه در پشت خود است؛ اما در مقایسه الگوی C با الگوهای D و F اختلاف معنی داری مشاهده نمی شود.

با بررسی الگوهای تخلخل بادشکن C، D و مشاهده شد که در توده به جاماندۀ از توده اولیه (دو کیلوگرمی)، فرورفتگی قابل مشاهده است. البته شدت این فرورفتگی به ترتیب در الگوهای C، B و D رو به کاهش بود. با مشاهده دقیق ذرات ماسه در این محدوده در تکرارهای مختلف از آزمایش، جهت حرکت خلاف جهت باد به اثبات رسید که ناشی از شکل‌گیری جریان پیچشی در پشت بادشکن است. البته این جریان پیچشی به شدت الگوی شاهد (A) نخواهد بود.

بحث و نتیجه‌گیری

تجزیه و تحلیل رفتار جریان باد در اطراف انواع مختلف بادشکن از ضروریات است و عدم توجه به آن، سبب اتلاف هزینه‌ها و گاهی خسارت‌های بیشتر می شود. نتایج حاصل از ارزیابی ۶ الگوی تخلخل بادشکن غیرزنده آجری در این پژوهش نشان داد که الگوی شاهد با تراکم ۱۰۰٪ دارای کمترین کارایی در حفظ توده ماسه در پشت خود بود که این ناشی از ایجاد جریان مغشوش و پیچشی در پشت بادشکن است (شکل ۷). از این‌رو، استفاده از این بادشکن غیرزنده، علاوه‌بر تشدید اثرات باد، با افزایش قابل توجه مصالح مورداستفاده، هزینه‌ها افزایش می‌یابد.

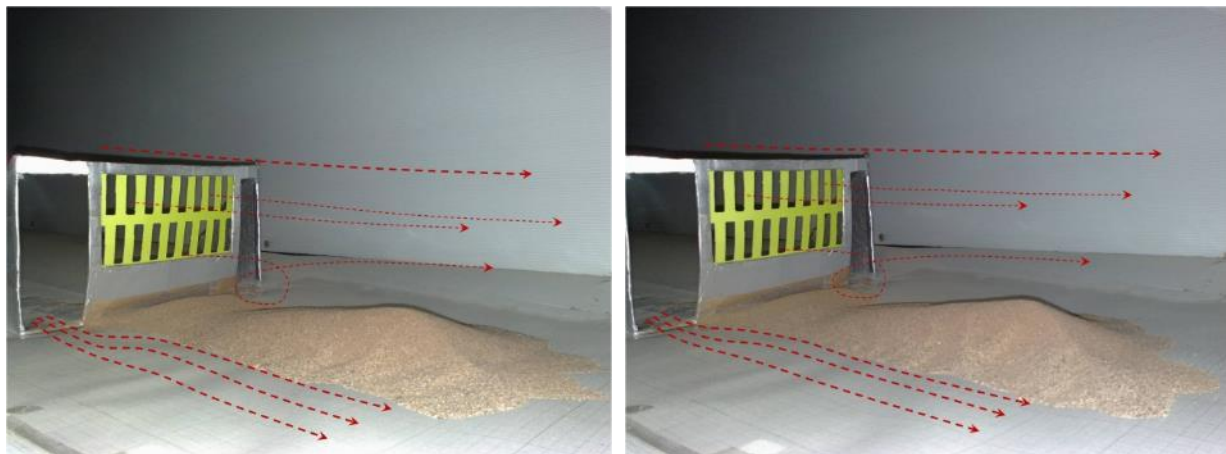
الگوی B با تخلخل ۱۷٪ دارای اختلاف معنی‌داری در



شکل (۷): جریان باد در اطراف بادشکن غیرزنده با تراکم ۱۰۰ درصد الف. پس از ۱۰ دقیقه؛ ب. پس از ۲۰ دقیقه

جريان در بادشکن الگوی E نیز قابل مشاهده است (جدول ۲). همچنین وقوع جريان پیچشی در اين دو نوع الگو نيز در محلی به فاصله اندک از بادشکن نیز مشاهده می شود که ناشی از تراکم ۱۰۰ درصدی بادشکن در قسمت پایین دیوار آجری است که به منظور افزایش مقاومت پایه دیوار به شکل متداول، غیرقابل حذف یا تغیير است.

شكل (۸) الگوی تغیيرات جريان باد در اطراف بادشکن الگوی F را نشان می دهد. همان گونه در اين شکل مشخص است، بهدلیل عدم ايجاد سطح منحنی در توده به جامانده از توده ماسه اولیه (دو كيلوگرمی)، خطوط جريان باد در اطراف اين بادشکن به صورت موازي است و بروز هر گونه آشفتگی عمدی در آنها قابل تشخيص نیست. البته اين رفتار خطوط



شكل (۸): جريان باد در اطراف بادشکن غيرزنده با تراکم ۵۵ درصد الف. پس از ۱۰ دقيقه؛ ب. پس از ۲۰ دقيقه

تحقيق مشخص شد ايجاد جريان‌های پیچشی در پشت بادشکن‌های متراکم می‌تواند اثرات مخربی بر منطقه نیاز به حفاظت به دنبال داشته و اين خصوصیت مزیتی برای اين بادشکن‌ها محاسبه نمی‌شود. ازانجاكه باید تعادلی بین مقدار انرژی ازدست‌رفته در ابتدای جريان باد و شکل‌گیری مجدد آن در جريان چرخشی باد به وجود آيد، نتایج نشان داد موانع متراکم تر، تلاطم بیشتر باد را سبب می‌شوند که با نظر گليسمن^۱ (۲۰۰۴) مطابقت دارد.

نتایج همچنین نشان داد برای افزایش سطح حفاظت منطقه پشت بادشکن علاوه‌بر افزایش ارتفاع بادشکن، طول بادشکن را نیز باید بیشتر از عرض اين منطقه در نظر گرفت تا اثر جريان‌های پیچشی هرچه بیشتر از منطقه موردنظر دور شوند.

همچنین بررسی خطوط جريان نشان داد که برای حفاظت از مناطق موردنظر با ارتفاع مشخص مانند گلخانه‌ها، لازم است ارتفاع بادشکن حداقل هم ارتفاع با سازه موردنظر باشد تا بادهای در ارتفاع بیشتر که معمولاً سرعت بیشتری نسبت به سرعت باد در ارتفاع‌های نزدیک سطح زمین دارند، موجب بروز خسارت نشوند.

نتایج بررسی‌های مختلف در مورد اثر تراکم بادشکن در میزان کاهش سرعت باد (رفاهی، ۱۹۹۹؛ خوشحال و همکاران، ۲۰۱۳) نشان می‌دهد توانایی بادشکن متراکم در کاهش سرعت باد، زياد است ولی اين تأثير تا فاصله کوتاهی است؛ به طوری که بادشکن‌های متراکم باعث کاهش بیشتر سرعت باد در نزدیک بادشکن می‌شوند.

درصورتی که همان‌طور که مشاهده شد (شكل ۵)، اثر بادشکن غيرمتراکم در کاهش سرعت باد کم است ولی اين تأثير تا فاصله بیشتری است. ارازی (۲۰۱۱) نیز معتقد است موانع متراکم، سرعت و شدت باد را به میزان بیشتری به طور مستقیم در منطقه بادشکن کاهش می‌دهند، در حالی که در اين

منابع

1. Amiri, I., 1999. Evaluation of different windbreaks on wind speed changes in Jiroft and Kahnooj. M.Sc. thesis, Faculty of Natural Resources, University of Zabol (in Farsi).
2. Amiri, I., Taei, J., Ekhtesasi, M. R., Shahryari, A. R., 2012. Turbulent Velocity Fluctuations as Affected by Biotic and Abiotic Windbreaks under Field Conditions, Greener Journal of Physical Sciences, Vol. 2 (4), 141-147 (in Farsi).
3. Amrollahi, H. & Mofidifar, M., 2005. Wind erosion and dust storms social and economic reviews in the region of Bam Narmanshir. First national conference of wind erosion and dust storm, 16-17 Feb, Yazd University (in Farsi).
4. Arazi, A., 2011. The effect of agroforestry (windbreaks of trees) on wheat yield in arid areas (Case study: Ardakan). M.Sc. thesis, Faculty of Natural Resources, Yazd University (in Farsi).
5. Arazi, A., Emtahani, M. H., Ekhtesasi, M. R. & Sodaeezadeh, H., 2013. Effect of *Tamarix aphylla* as tree windbreak on salinity soil agriculture lands in dry region (case study: Ardakan). Watershed Management Research (Pajouhesh & Sazandegi), 99, 53-59 (in Farsi).
6. Claugh, H. A., 1998. Effects of windbreak on airflow, microclimates and crop yields, Agroforestry system, 41: 55-84.
7. Cornelis, W. M., Gabriels, D. and Lauwaerts, T., 1997. Simulation of windbreak for wind erosion control in a wind tunnel, M.Sc., www.ksu.edu/symposium/proceeding/wedu.
8. Foereid, B., BRO, R., Ogenseen, V. O., Porter, J. R., 2002. Effects of windbreak strips of willow coppice- modeling and field experiment on barley in Denmark, Ecosystem and Environment, 93: 25-32.
9. Forests, Range and Watershed management organization of Iran, 2004. National Action Plan desertification and mitigate the effects of drought Islamic Republic of Iran. Puneh press, Tehran, 55 pp (in Farsi).
10. Geist, H. J., 2005. The Causes and Progression of Desertification. Ashgate, Burlington.
11. Gliessman, S., 2004. Agroecology. Nasiri mahallati, M. Rezvani, P. & Beheshti, A., Mashhad, ferdowsi university of mashhad.
12. Khoshhal, J., Vali, A. A. & Poorkhosrovani, M., 2013. Investigation of windbreak role on wheat crop properties in mohammad abad of Isfahan, Geography and Management, 16 (42): 139-153 (in Farsi).
13. Klein, L., 2002. Portable Windbreak Fences, Alberta, Saskatchewan Agriculture and Food, Canada.
14. Ladenburger, C. G., Hild, A. L., Kazmer, L. C., Munn, L. C., 2005. Soil salinity patterns in tamarix invasions in the Bighornbasin, Wyoming and USA, Arid Environment, 65: 111-128.
15. Mostafavi, S. M., Yazdanpanah, H. & Paraned khuzani, A., 2005. The trend of wind erosion by using climate data. First national conference of wind erosion and dust storm, 16-17 Feb, Yazd University (in Farsi).
16. Refahi, H. G., 1999. Wind erosion and conservation. Tehran, Tehran university press (in Farsi).
17. Shao, Y.P., 2001. Physics and Modelling of Wind Erosion. Springer, Netherlands.

Investigation of abiotic windbreak porosity patterns on change of air flow

Ali Mohammad Ghaeminia^{1*}, Mohammad Ali Hakimzadeh²

Received: 19/6/2017

Accepted: 21/9/2017

Abstract

Due to the drought in recent years and the need to increase the efficient use of water in agriculture, the abiotic windbreak appears to be more suitable than biotic. In order to investigate the effects of lattice brick patterns in protection of the windbreak on the back, an experimental study was carried out in a wind tunnel. For this purpose, five lattice brick patterns with different densities, with density of 100% for the control in a randomized complete block design with four replications were studied. The results revealed that with increasing porosity in the windbreaks, while reducing wind speed and keeping the area protected; flow lines become parallel and vortex currents are not observed. While with reduced porosity, the wind streamlines the flow and becomes turbulent and reduces protection in the desired area. Also, results showed that the construction of windbreaks with a height less than the height of the protection structures (like a greenhouse), especially in high-density windbreaks, not only protect against winds not retained, but also with the formation of more rapid and vortex flows behind the windbreaks, the damage increases. Thus, attention to create optimum density with the use of appropriate lattice patterns is important in establishing abiotic brick windbreaks.

Keywords: Wind erosion, Density of windbreak, Brick, Wind tunnel, Combat to desertification.

1. Ph.D. Candidate of combat to desertification, Yazd University/ Email: a.ghaeminia@yahoo.com
2. Assistant professor, Yazd University